

# Estudo do Método de Diferenças Finitas para Equação da Onda unidimensional

Lucas Amaral Taylor

Neste trabalho, aplicaremos o Método de Diferenças Finitas (MDF) para resolução numérica de equações de onda unidimensional em três exemplos pré-selecionados no enunciado.

## I. Introdução

No enunciado do trabalho foram passados três exemplos, exercícios-problema, em cada um deles, vamos desenvolver o que está sendo solicitado. De maneira, geral, os três exemplos, seguem como estrutura a plotagem de dados e o cálculo do erro. Para essas duas tarefas, utilizaremos o Método de Diferenças Finitas (MDF) aplicado junto à linguagem de `Python` com auxílio das bibliotecas `numpy` e `matplotlib.pyplot`.

## II. Descrição da parte teórica do trabalho

No presente relatório, aplicaremos o Método de Diferenças Finitas (MDF) para resolução da *equação da velocidade da onda* dada por:

$$u_{tt} = c^2 u_{xx}, \quad c > 0. \quad (1)$$

em três problemas distintos. Em cada um deles, são fornecidas condições iniciais:

$$u(x, 0) = \Phi(x) \quad \text{e} \quad u_t(x, 0) = \Psi(x) \quad (2)$$

Para a resolução, utilizaremos o esquema de diferenças finitas dado por:

$$U_m^{n+1} = c^2 \lambda^2 (U_{m-1}^n + U_{m+1}^n) + 2(1 - c^2 \lambda^2) U_m^n - U_m^{n-1} \quad (3)$$

$$U_m^0 = \Phi(x_m) \quad (4)$$

$$U_m^1 = \frac{c^2 \lambda^2}{2} (\Phi_{m-1} + \Phi_{m+1}) + (1 - c^2 \lambda^2) \Phi_m + \tau \Psi_m \quad (5)$$

As condições de fronteira consideradas são:

- i. Dirichlet:  $u(a, t) = \alpha(t)$  ou  $u(b, t) = \beta(t)$
- ii. Neumann:  $u_x(a, t) = \phi(t)$  ou  $u_x(b, t) = \psi(t)$
- iii. Combinação das anteriores

Utilizamos as seguintes aproximações para cada condição de fronteira:

- i. Para Dirichlet:

$$\text{Se } u(a, t) = \alpha(t) : U_0^{n+1} = \alpha(t_{n+1}) \quad (6)$$

$$\text{Se } u(b, t) = \beta(t) : U_M^{n+1} = \beta(t_{n+1}) \quad (7)$$

- ii. Para Neumann de ordem 1:

$$\text{Se } u_x(a, t) = \phi(t) : U_0^{n+1} = U_1^{n+1} - h\phi(t_{n+1}) \quad (8)$$

$$\text{Se } u_x(b, t) = \psi(t) : U_M^{n+1} = U_{M-1}^{n+1} + h\psi(t_{n+1}) \quad (9)$$

- iii. Para Neumann de ordem 2:

$$\text{Se } u_x(a, t) = \phi(t) : U_0^{n+1} = \frac{4U_1^{n+1} - U_2^{n+1} - 2h\phi(t_{n+1})}{3} \quad (10)$$

$$\text{Se } u_x(b, t) = \psi(t) : U_M^{n+1} = \frac{4U_{M-1}^{n+1} - U_{M-2}^{n+1} + 2h\psi(t_{n+1})}{3} \quad (11)$$

onde:

- $u(x, t)$  é a solução exata no ponto  $x$  e no instante  $t$
- $U_m^n$  é a aproximação numérica de  $u(x_m, t_n)$
- $c$  é a velocidade da onda
- $h$  é o espaçamento da malha espacial
- $\tau$  é o espaçamento da malha temporal
- $\lambda = \tau/h$  é a razão entre os espaçamentos
- $M$  é o número de pontos da malha espacial
- $x_m = a + mh$  são os pontos da malha espacial
- $t_n = n\tau$  são os pontos da malha temporal
- $\Phi(x)$  é a condição inicial de posição
- $\Psi(x)$  é a condição inicial de velocidade

### III. Implementação e explicação da resolução da tarefa

A respeito da implementação da tarefa, temos que foi utilizado o ambiente *Python* e as bibliotecas *matplotlib.pyplot* e *numpy*. Por questão de simplicidade, o programa foi desenvolvido em um único arquivo, *main.py*. O programa *main.py* é constituído por uma função principal, a função *main()* e outras cinco funções.

No que diz respeito à função *main()*, trata-se de um controle de fluxo para o usuário selecionar o exemplo trabalhado. No que diz respeito às outras, temos duas funções principais: *resolve\_eq\_onda()* e a função *aplica\_cond\_contorno()*, e três funções dedicadas a cada exemplo proposto pelo enunciado: *exemplo01()*, *exemplo02()* e *exemplo03()*. No presente relatório, vamos realizar uma análise mais profunda nas duas primeiras funções citadas e pontuar as particularidades das funções dedicadas à cada exemplo.

#### A. Função *resolve\_eq\_onda()*

A função *resolve\_eq\_onda()* é dada por:

```
def resolve_eq_onda(a, b, T, h, lambda_val, c=1.0, phi=None, psi=None,
                   cont_esq=None, cont_dir=None,
                   tipo_cont_esq='dirichlet',
                   tipo_cont_dir='dirichlet',
                   ordem_neumann=2):

    # Discretização do domínio
    M = int((b - a) / h)
    tau = lambda_val * h
    N = int(T / tau)

    x = np.linspace(a, b, M + 1)
    t = np.linspace(0, T, N + 1)
    U = np.zeros((N + 1, M + 1))

    # Condições iniciais
    if phi is not None:
        U[0, :] = phi(x)
    if psi is not None:
        # Primeiro passo temporal (ordem 2)
        U[1, 1:-1] = (c ** 2 * lambda_val ** 2 / 2) * (U[0, :-2] + U[0, 2:]) + \
            (1 - c ** 2 * lambda_val ** 2) * U[0, 1:-1] + \
            tau * psi(x[1:-1])
        U[1, 0] = aplica_cond_contorno(U, t, 1, 0, cont_esq, tipo_cont_esq, h, ordem_neumann)
```

```

U[1, -1] = aplica_cond_contorno(U, t, 1, M, cont_dir, tipo_cont_dir, h, ordem_neumann)

# Esquema explícito para demais passos
for n in range(1, N):
    U[n + 1, 1:-1] = c ** 2 * lambda_val ** 2 * (U[n, :-2] + U[n, 2:]) + \
        2 * (1 - c ** 2 * lambda_val ** 2) * U[n, 1:-1] - \
        U[n - 1, 1:-1]
    U[n + 1, 0] = aplica_cond_contorno(U, t, n + 1, 0, cont_esq, tipo_cont_esq, h,
    ordem_neumann)
    U[n + 1, -1] = aplica_cond_contorno(U, t, n + 1, M, cont_dir, tipo_cont_dir, h,
    ordem_neumann)

return U, x, t

```

A função `resolve_eq_onda()` recebe os seguintes parâmetros:

- `a`, `b`: Limites do intervalo espacial  $[a, b]$
- `T`: Tempo final da simulação
- `h`: Passo espacial (discretização em  $x$ )
- `lambda_val`: Razão  $\tau/h$ , onde  $\tau$  é o passo temporal
- `c`: Velocidade da onda (padrão = 1.0)
- `phi`: Função para condição inicial de posição  $u(x, 0)$
- `psi`: Função para condição inicial de velocidade  $u_t(x, 0)$
- `cont_esq`: Função para condição de contorno em  $x = a$
- `cont_dir`: Função para condição de contorno em  $x = b$
- `tipo_cont_esq`: Tipo da condição de contorno em  $x = a$  (Dirichlet ou Neumann)
- `tipo_cont_dir`: Tipo da condição de contorno em  $x = b$  (Dirichlet ou Neumann)
- `ordem_neumann`: Ordem de aproximação para condições de Neumann (1 ou 2)

Nela, definidas as variáveis `M`, `tau` e `N`, estas relacionadas com a equação de diferenças finitas; as variáveis `x`, `t` e `u`, associadas com a malha de pontos. Após a definição de variáveis, o programa começa o tratamento com a condição inicial alinhado com as equações (2) e (4). Por fim, são definidos os pontos interiores em dois laços. O primeiro é responsável pelo cálculo do primeiro passo, isto é, quando  $n = 1$  usando a condição inicial proveniente da equação (5). Enquanto o segundo, é responsável pelos pontos onde  $2 \leq n \leq N$  usando a equação (3). Ambos os laços levam em consideração as condições de fronteiras e suas características são tratadas via `aplica_cond_contorno()`, apresentada a seguir.

### B. Função `aplica_cond_contorno()`

A função `aplica_cond_contorno()` é apresentada como:

```

def aplica_cond_contorno(U, t, n, m, func_cont, tipo_cont, h, ordem):
    if tipo_cont.lower() == 'dirichlet':
        return func_cont(t[n])
    elif tipo_cont.lower() == 'neumann':
        if m == 0: # Contorno esquerdo
            if ordem == 1:
                return U[n, 1] - h * func_cont(t[n])
            return (4 * U[n, 1] - U[n, 2] - 2 * h * func_cont(t[n])) / 3
        else: # Contorno direito
            if ordem == 1:
                return U[n, -2] + h * func_cont(t[n])
            return (4 * U[n, -2] - U[n, -3] + 2 * h * func_cont(t[n])) / 3

```

Os parâmetros recebidos pela função são:

- **U**: Matriz com a solução numérica, onde  $U[n,m]$  representa a aproximação de  $u(x_m, t_n)$
- **t**: Vetor com os pontos da malha temporal  $t_n = n\tau$
- **n**: Índice temporal atual
- **m**: Índice espacial do ponto de fronteira (0 para esquerda, M para direita)
- **func\_cont**: Função que define o valor da condição de contorno
- **tipo\_cont**: Tipo da condição de contorno ('dirichlet' ou 'neumann')
- **h**: Passo espacial da malha
- **ordem**: Ordem de aproximação para condição de Neumann (1 ou 2)

Os parâmetros **h**, **tipo\_cont** e **ordem** já constam na lista anterior da função **resolve\_eq\_onda()**.

A função **aplica\_cond\_contorno()** aplica a condição de contorno conforme descrita pelo enunciado do exemplo. Para as equações de Dirichlet são seguidas as equações (6) e (7), para as de Neumann de ordem 1 são seguidas as equações (8) e (9) e, por fim, para as de Neumann de ordem 2 são seguidas as equações (10) e (11).

### C. As funções exemplo

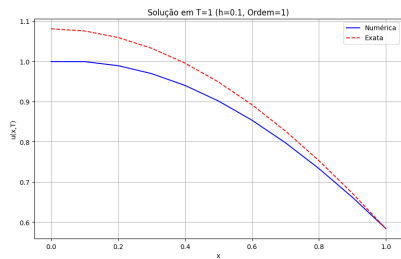
Por fim, finalizando a presente seção, cabe uma breve explicação a respeito das funções **exemplo1()**, **exemplo2()** e **exemplo3()**. Essas três funções são responsáveis por particularizar cada exemplo proposto, isto é, seguir as instruções específicas para cada exemplo.

- **exemplo1()**
  - Implementa problema com solução analítica  $u(x, t) = \cos(x + t) + \cos(x - t)$
  - Testa convergência com diferentes  $h$  (1/10, 1/20, 1/40) e ordens do método de Neumann (1, 2)
  - Plota comparação entre solução numérica e analítica
- **exemplo2()**
  - Simula onda com condição inicial  $\Phi(x) = \begin{cases} 1 - |x| & \text{se } |x| \leq 1 \\ 0 & \text{caso contrário} \end{cases}$
  - Usa diferentes resoluções espaciais ( $h = 1/10$  até  $1/80$ ) com  $\lambda = 0.95$
  - Aplica condições mistas (Dirichlet à esquerda, Neumann à direita)
- **exemplo3()**
  - Simula onda com condição inicial  $\Phi(x) = e^{-1000(x-0.5)^2} \sin(300x)$
  - Testa  $\lambda = 1.0$  e  $\lambda = 0.45$  com  $h = 1/300$  fixo
  - Analisa solução em  $t = 0, 0.25, 2$  e  $10$ , verificando periodicidade e erros

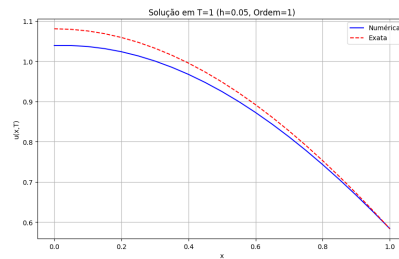
## IV. Apresentação dos resultados

### A. Exemplo 01

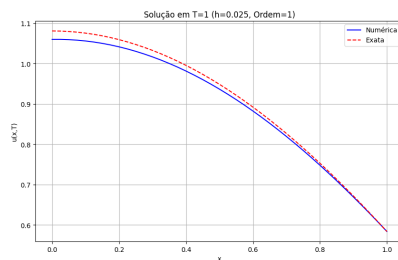
Primeiramente, cabe apresentar os gráficos gerados pelo programa:



(a) Solução com  $h = 0.1$

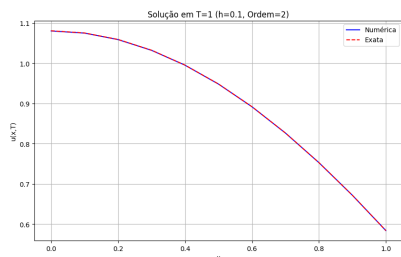


(b) Solução com  $h = 0.05$

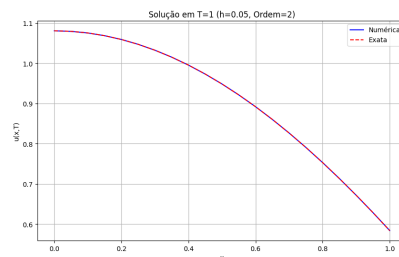


(c) Solução com  $h = 0.025$

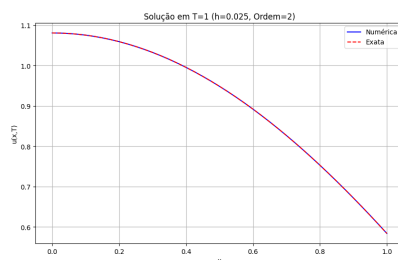
Figura 1: Soluções numéricas com aproximação de primeira ordem



(a) Solução com  $h = 0.1$



(b) Solução com  $h = 0.05$



(c) Solução com  $h = 0.025$

Figura 2: Soluções numéricas com aproximação de segunda ordem

Note que os gráficos que utilizam aproximação de primeira ordem distanciam-se mais da solução exata ao serem comparados com os gráficos de segunda ordem, ou seja, a partir deste fato, pode-se afirmar que os gráficos de primeira

ordem apresentam um erro maior do que os gráficos de segunda ordem. Além disso, à medida que o  $h$  diminui, a solução numérica permanece cada vez mais próxima da solução exata, tanto nos gráficos de primeira ordem, quanto nos de segunda.

Por fim, nota-se que tais fatos evidenciados nas figuras, são confirmados pela tabela de cálculo do erro apresentada abaixo:

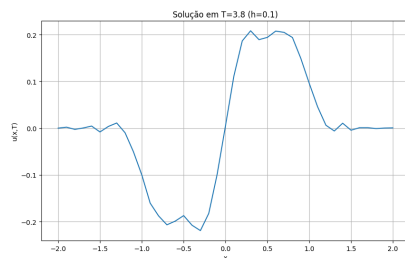
Tabela I: Erro máximo para diferentes valores de  $h$  e ordens da condição de Neumann

$h$	Ordem 1	Ordem 2
0.1	8.171035e-02	3.937531e-04
0.05	4.148152e-02	5.096550e-05
0.025	2.089094e-02	6.474309e-06

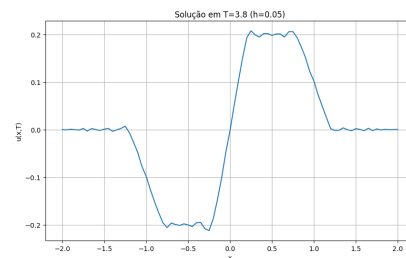
Por fim, analisando a tabela, podemos realizar algumas observações no que diz respeito à ordem de convergência. Para ordem 1, temos que  $h$  ao reduzir  $h$  pela metade, o erro se reduz aproximadamente pela metade, o que indica uma convergência linear. Já a ordem 2, temos que, ao reduzir  $h$  pela metade, o erro reduz-se em um fator próximo  $h^3$ , ou seja, uma convergência cúbica.

### B. Exemplo 02

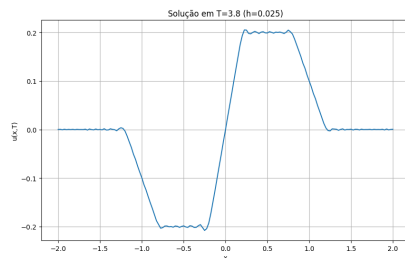
Os gráficos obtidos pelo programa foram:



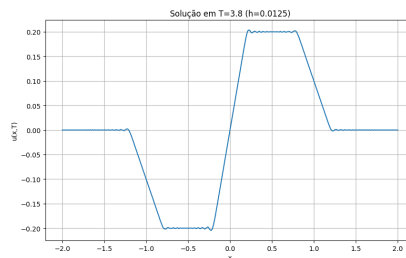
(a) Solução com  $h = 0.1$



(b) Solução com  $h = 0.05$



(c) Solução com  $h = 0.025$



(d) Solução com  $h = 0.0125$

Figura 3: Convergência da solução numérica em  $T = 3.8$  para diferentes valores de  $h$

Analisando os gráficos, observa-se que o refinamento da malha (redução de  $h$ ) resulta em uma suavização progressiva das oscilações numéricas. Os intervalos  $[-2, -1]$ ,  $[-1, 0]$ ,  $[0, 1]$  e  $[1, 2]$  apresentam menos perturbações conforme  $h$  diminui de 0.1 para 0.0125, evidenciando uma melhor aproximação da solução contínua. As transições entre os patamares tornam-se mais suaves, e as regiões planas mostram menos ruído numérico.

Agora, analisando o erro, levando em consideração o que foi posto no enunciado do exemplo: ponto  $x = 2$  como um ponto de simetria para todo  $t$ , obtivemos os seguintes resultados para análise do erro:

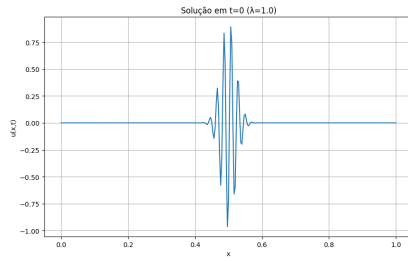
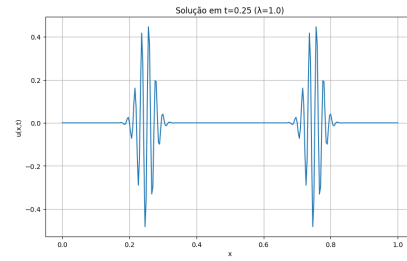
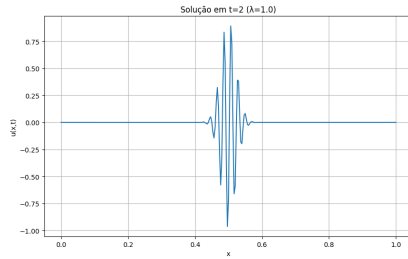
Tabela II: Análise do erro de simetria da solução em  $T=3.8$ 

$h$	Erro de simetria
0.1000	4.160728e-01
0.0500	4.159548e-01
0.0250	4.130921e-01
0.0125	4.072185e-01

Analisando os dados apresentados na Tabela II, observa-se que mesmo com sucessivos refinamentos da malha, o erro de simetria permanece praticamente constante na ordem de  $10^{-1}$ . Esta característica sugere que o refinamento da malha não está sendo eficiente para melhorar a precisão da solução em termos de sua propriedade de simetria, evidenciando uma convergência consideravelmente lenta do método numérico para este aspecto específico do problema.

### C. Exemplo 03

As imagens geradas pelo programa foram:

(a) Pulso inicial em  $t = 0$ (b) Separação dos pulsos em  $t = 0.25$ (c) Solução em  $t = 2$ 

main.pymain.py

(d) Solução em  $t = 10$ Figura 4: Solução numérica com  $\lambda = 1.0$  e  $h = 1/300$ 

No primeiro grupo de imagens, quando  $\lambda = 1$  e  $h = 300$ , temos que as imagens do tempo inicial de  $t = 0$ ,  $t = 2$  e  $t = 10$  são semelhantes. Enquanto em  $t = 0.25$  nota-se a presença de duas ondas. Este fato deve-se ao comportamento do objeto estudado

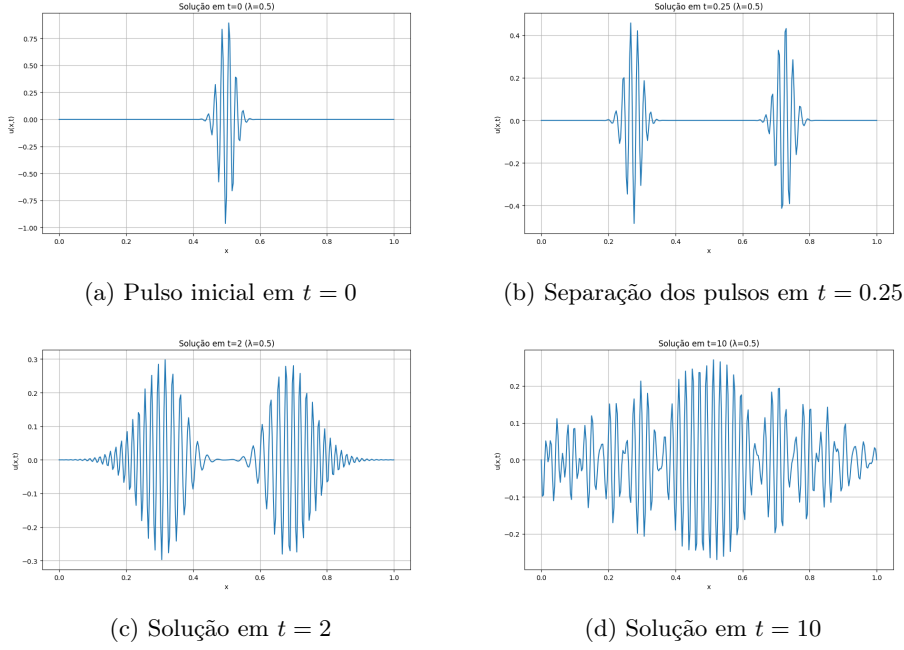


Figura 5: Solução numérica com  $\lambda = 0.5$  e  $h = 1/300$

As semelhanças vistas entre os gráficos do mesmo grupo não são vistas no segundo grupo. Em  $t = 0$  e  $t = 0.25$ , pode-se notar que são semelhantes ao que foi apresentado no primeiro grupo de imagens. Já em  $t = 2$  e  $t = 10$ , temos que além de serem extremamente diferentes entre si, também são diferentes ao serem comparadas com gráficos do mesmo tempo do grupo anterior. Por fim, é importante destacar o seguinte trecho do enunciado do exemplo 03:

“Quando atingem a fronteira (a primeira vez em  $t = 0.5$ ), eles refletem e então viajam na direção oposta. Nos instantes  $t$  iguais a inteiros pares a solução é igual ao seu valor em  $t = 0$ ”.

Esse fato pode ser explicado pela periodicidade em relação ao tempo da solução da equação expressa por:

$$u(x, 2n) = u(x, 0), \quad n \in \mathbb{Z}$$

Ela ocorre pelo fato de  $c = 1$ , ou seja, quando a velocidade da onda leva 1 unidade de tempo para percorrer o domínio  $L = 1$ . Além disos, vale destacar que as condições de Dirichlet homogêneas nos extremos causam reflexão com inversão de fase, e após uma ida e volta completa (2 unidades de tempo), a onda retorna à sua configuração inicial, repetindo este ciclo. A respeito à estimação do erro, obtemos a seguinte tabela.

Tabela III: Erro em relação à condição Update main.py inicial para diferentes valores de  $\lambda$

$\lambda$	Erro em t=2	Erro em t=10
1.0	1.221245e-15	3.719247e-15
0.5	9.634010e-01	1.026740e+00

Para  $\lambda = 1$ , os erros em  $t = 2$  e  $t = 10$ , apesar de distintos, compartilham a mesma ordem de grandeza ( $10^{-15}$ ), sendo praticamente nulos. Isto confirma a propriedade teórica do esquema ser exato quando  $c\lambda = 1$ . O mesmo não se pode dizer em relação à  $\lambda = 0.5$ : apesar de terem valores relativamente próximos (uma diferença de  $6 \times 10^{-2}$ ), há acumulação de erros numéricos ao longo do tempo, mesmo com passo temporal menor.

## V. Conclusão

Conclui-se que o Método de Diferenças Finitas (MDF) demonstrou-se uma ferramenta eficaz para a resolução numérica de equações de onda unidimensionais da forma apresentada em (1), sujeitas às condições iniciais expostas em (2).



No presente trabalho, foram desenvolvidos três exemplos distintos que, embora compartilhem a natureza de fenômenos ondulatórios unidimensionais, apresentaram características únicas. Cada exemplo permitiu explorar diferentes aspectos da aproximação numérica: o primeiro possibilitou uma análise quantitativa e visual da convergência através da comparação direta entre soluções exata e numérica; o segundo explorou propriedades de simetria em torno de  $x = 2$  e sua preservação numérica; e o terceiro demonstrou a capacidade do método em capturar fenômenos físicos como a propagação, reflexão e periodicidade de pulsos ao longo do tempo.

Um aspecto crucial evidenciado foi a sensibilidade do método aos parâmetros numéricos. Em particular, a escolha de  $\lambda = \tau/h$  mostrou-se determinante para a precisão e estabilidade das soluções. No primeiro exemplo, observamos como diferentes ordens de aproximação para a condição de Neumann afetam a convergência. No segundo, vimos que mesmo com refinamento da malha, certas propriedades geométricas podem ser difíceis de preservar numericamente. Já no terceiro exemplo, a comparação entre  $\lambda = 1$  e  $\lambda = 0.5$  demonstrou como a escolha dos parâmetros pode afetar a precisão da solução em tempos longos, com o caso  $\lambda = 1$  produzindo resultados mais precisos.

## VI. Referências

Strauss, W. A. (2008). *Partial Differential Equations* (2a edição). John Wiley & Sons.